

Lovelock重力理論の因果性と双曲性

棚橋 典大 (Kavli IPMU/DAMTP)

with Harvey S. Reall, Benson Way

Based on arXiv:1406.3379 & work in progress

Lovelock重力理論の因果性と双曲性

- Lovelock重力理論
= 一般相対論 + (曲率テンソルの積による補正)
 - 運動方程式が二回微分まで → ゴースト不安定性なし
 - スtring理論から出てくる？

- GR: 重力摂動は光と同じ速さで伝搬
- Lovelock: 超光速/亜光速で伝搬することがある

Lovelock理論は因果律を満たすか？
運動方程式は双曲的か？

Lovelock重力理論の因果性と双曲性

- Lovelock理論は因果律を満たすか？
 - この理論では普通の因果構造が実現されるか？
 - 重力摂動がブラックホール内部から出てくるようなことはあるか？
- 運動方程式は双曲的か？
 - 双曲的な運動方程式 = 波動方程式
 - 方程式の2階微分項の係数で決まる
 - GR: 運動方程式が双曲型になると保証されている
 - Lovelock: 背景時空によっては双曲型でなくなる？

Contents

1. Introduction

- Lovelock重力理論
- 特性曲面
- 双曲性

2. Questions

- 重力摂動はブラックホールから出てくるか？
- 平面波解上の伝搬
- ブラックホール周辺における伝搬

3. Summary

Contents

1. Introduction

- Lovelock重力理論
- 特性曲面
- 双曲性

2. Questions

- 重力摂動はブラックホールから出てくるか？
- 平面波解上の伝搬
- ブラックホール周辺における伝搬

3. Summary

Introduction: Lovelock重力理論

- d 次元における Lovelock重力理論 ($p \leq (d-1)/2$)

$$\mathcal{L} = R - 2\Lambda - \sum_{p \geq 2} 2k_p \delta_{d_1 \dots d_{2p}}^{c_1 \dots c_{2p}} R_{c_1 c_2}{}^{d_1 d_2} \dots R_{c_{2p-1} c_{2p}}{}^{d_{2p-1} d_{2p}}$$

$$= R - 2\Lambda - 8k_2 (R^2 - 4R_{ab}R^{ab} + R_{abcd}R^{abcd}) + \dots$$

$$\left(\delta_{d_1 \dots d_n}^{c_1 \dots c_n} \equiv n! \delta_{[d_1}^{c_1} \dots \delta_{d_n]}^{c_n} \right)$$

- EoM = Einstein eq. + 補正項

$$0 = A^a_b \equiv G^a_b + \Lambda \delta^a_b + B^a_b$$

where

$$B^a_b = \sum_{p \geq 2} k_p \delta_{bd_1 \dots d_{2p}}^{ac_1 \dots c_{2p}} R_{c_1 c_2}{}^{d_1 d_2} \dots R_{c_{2p-1} c_{2p}}{}^{d_{2p-1} d_{2p}}$$

Introduction: 特性曲面

- 重力波信号の伝搬
↳ 特性曲面上を伝搬する

スカラー場 ψ のEoM: $0 = E(\psi, \partial\psi, \partial^2\psi)$

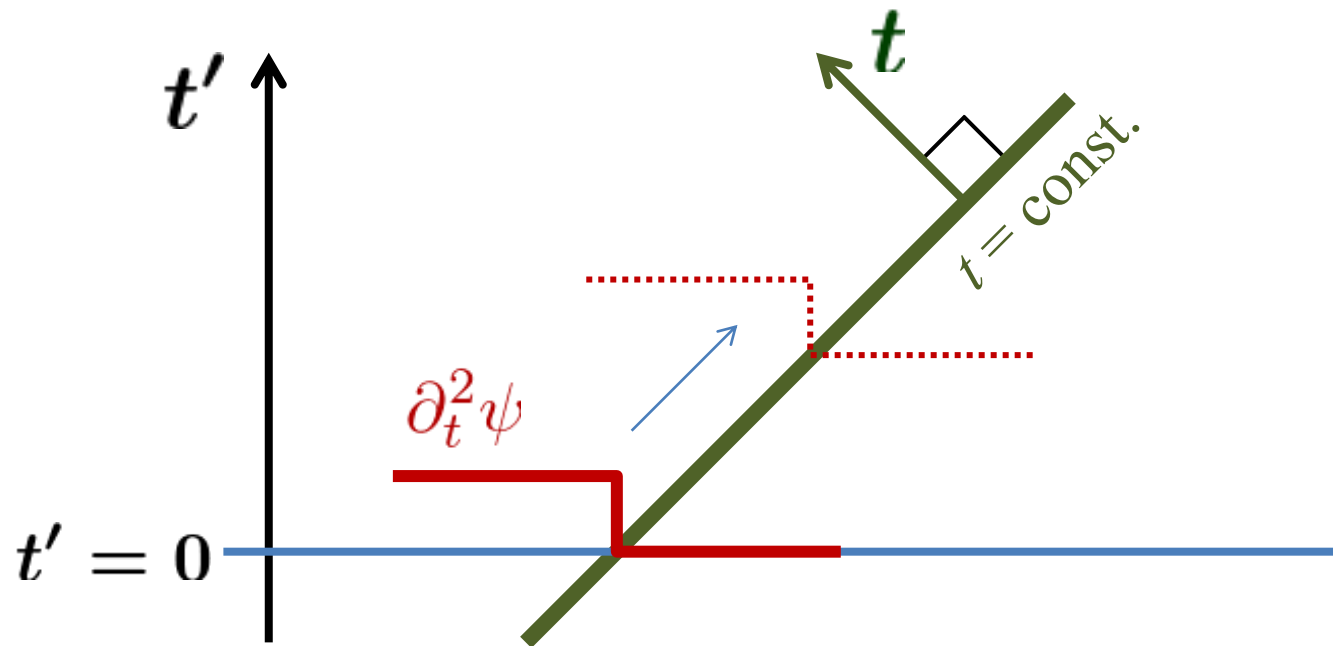
$$= \frac{\partial E}{\partial(\partial_t^2\psi)} \partial_t^2\psi + F(\partial_t\psi, \psi)$$

- $\frac{\partial E}{\partial(\partial_t^2\psi)} \neq 0$: $\partial_t^2\psi$ が一意に決まる
→ ψ の時間発展が普通に求まる
- $\frac{\partial E}{\partial(\partial_t^2\psi)} = 0$: $\partial_t^2\psi$ が一意に決まらない
→ $t = \text{const.}$ が特性曲面になっている

Introduction: 特性曲面

- $\frac{\partial E}{\partial(\partial_t^2\psi)} = 0$ $\partial_t^2\psi$ が一意に決まらない
→ $t = \text{const.}$ が特性曲面になっている

✓ 初期面上の信号は特性曲面に沿って伝搬する

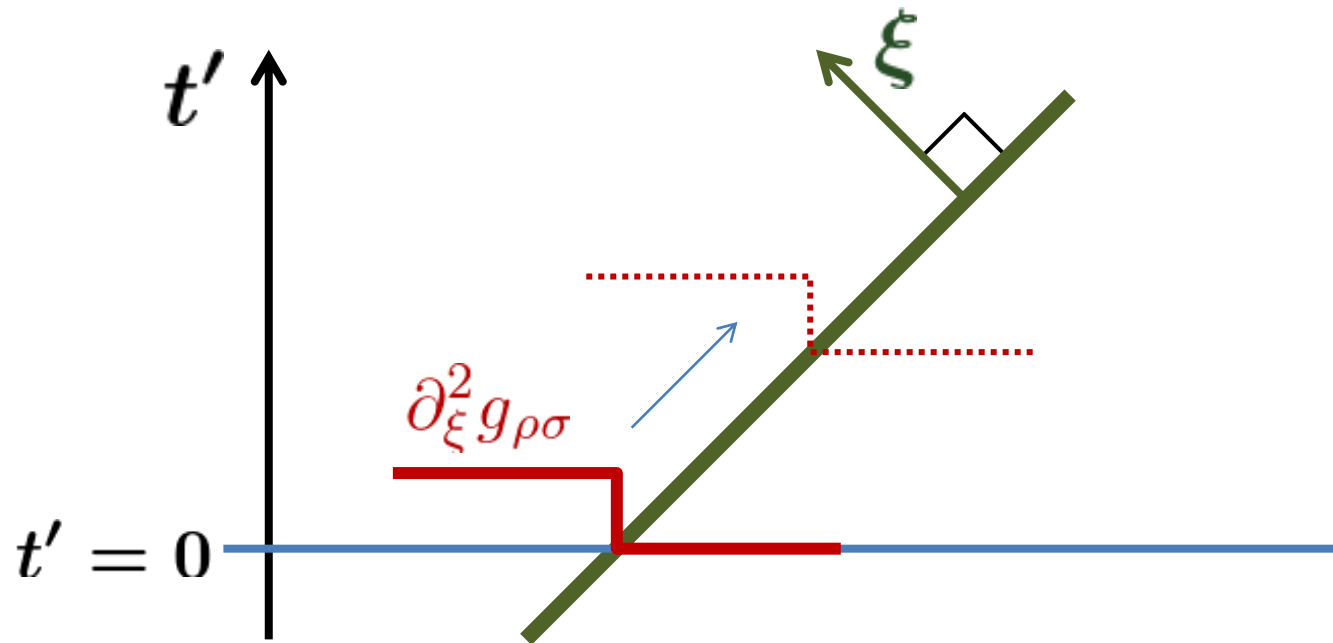


Introduction: 特性曲面

- Lovelock理論における特性曲面 [Aragone '87]
[Choquet-Bruhat'88]

$$E_{ab} \equiv R_{ab} - \frac{2\Lambda}{d-2}g_{ab} + B_{ab} - \frac{1}{d-2}B^c{}_c g_{ab} = 0$$

$$P(x, \xi)_{\mu\nu}{}^{\rho\sigma} \equiv \frac{\delta E_{\mu\nu}}{\delta(\partial_t^2 g_{\rho\sigma})} = \frac{\delta E_{\mu\nu}}{\delta(\partial_\alpha \partial_\beta g_{\rho\sigma})} \xi_\alpha \xi_\beta$$



Introduction: 特性曲面

- Lovelock理論における特性曲面 [Aragone '87]
[Choquet-Bruhat'88]

$$E_{ab} \equiv R_{ab} - \frac{2\Lambda}{d-2}g_{ab} + B_{ab} - \frac{1}{d-2}B^c{}_c g_{ab} = 0$$

$$P(x, \xi)_{\mu\nu}{}^{\rho\sigma} \equiv \frac{\delta E_{\mu\nu}}{\delta(\partial_t^2 g_{\rho\sigma})} = \frac{\delta E_{\mu\nu}}{\delta(\partial_\alpha \partial_\beta g_{\rho\sigma})} \xi_\alpha \xi_\beta$$

✓ 特性曲面 $\Leftrightarrow \det P = 0$

✓ $(P \cdot t)_{ab} = (P_{GR} \cdot t)_{ab} + (\mathcal{R} \cdot t)_{ab}$ (t_{ab} : 対称テンソル)

$$(P_{GR} \cdot t)_{ab} = -\frac{1}{2}\xi^2 t_{ab} + \xi^c \xi_{(a} t_{b)c} - \frac{1}{2}\xi_a \xi_b t^c{}_c$$

$$\begin{aligned} (\mathcal{R} \cdot t)^a{}_b &= - \sum_{p \geq 2} 2pk_p \delta_{bd_1 \dots d_{2p}}^{ac_1 \dots c_{2p}} \xi_{c_1} \xi^{d_1} t_{c_2}{}^{d_2} R_{c_3 c_4}{}^{d_3 d_4} \dots R_{c_{2p-1} c_{2p}}{}^{d_{2p-1} d_{2p}} \\ &\quad + \frac{1}{d-2} \delta_b^a \sum_{p \geq 2} 2pk_p \delta_{ed_1 \dots d_{2p}}^{ec_1 \dots c_{2p}} \xi_{c_1} \xi^{d_1} t_{c_2}{}^{d_2} R_{c_3 c_4}{}^{d_3 d_4} \dots R_{c_{2p-1} c_{2p}}{}^{d_{2p-1} d_{2p}} \end{aligned}$$

Introduction: 特性曲面

- GRにおける特性曲面

$$\det P = 0 \Rightarrow (P_{GR} \cdot t)_{ab} = -\frac{1}{2}\xi^2 t_{ab} + \xi^c \xi_{(a} t_{b)c} - \frac{1}{2}\xi_a \xi_b t^c{}_c = 0$$

✓ **ゲージモード**: $(P \cdot t)$ は t_{ab} を次のように変換しても不変

$$t_{ab} \rightarrow t_{ab} + \xi_{(a} X_{b)} \quad (X_a : \text{任意のベクトル})$$

➤ $\xi^2 \neq 0 \rightarrow t_{ab} = \xi_{(a} X_{b)}$ for some $X_a \rightarrow$ **ゲージモード** $\times d$

➤ $\xi^2 = 0 \rightarrow \xi^c \xi_{(a} t_{b)c} - \frac{1}{2}\xi_a \xi_b t^c{}_c = 0$

$$\rightarrow \xi^b t_{ab} - \frac{1}{2}\xi_a t^c{}_c = 0 \quad \rightarrow \text{拘束条件} \times d$$

∴ 物理的なモードは $\xi^2 = 0$ で $\frac{1}{2}d(d+1) - d - d = \frac{1}{2}d(d-3)$ 個存在する

Introduction: 特性曲面

- Lovelock理論における特性曲面 [Aragone '87]
[Choquet-Bruhat'88]

$$\det P = 0 \Rightarrow (P \cdot t)_{ab} = (P_{GR} \cdot t)_{ab} + (\mathcal{R} \cdot t)_{ab} = 0$$

- $\xi^2 \neq 0 \rightarrow t_{ab}$ をゲージ部分とそれ以外に分解できる:

$$t_{ab} = \hat{t}_{ab} + \xi_{(a} X_{b)} \quad \left[\xi^b \hat{t}_{ab} - \frac{1}{2} \xi_a \hat{t}^c_c = 0 \right]$$

$$\Rightarrow \frac{1}{2} \xi^2 \hat{t} = \mathcal{R}(x, \xi) \cdot \hat{t}$$

- $\xi^2 = 0 \rightarrow$ ヌル方向に合わせた座標を取る ($\xi_0 = 0 = \xi_i, \xi_1 = 1$)

$$\left\{ \begin{array}{ll} \frac{1}{2} t_{00} + (\mathcal{R} \cdot t)_{01} = 0 & \frac{1}{2} t_{0i} + (\mathcal{R} \cdot t)_{1i} = 0 \\ (\mathcal{R} \cdot t)_{ij} = 0 & -\frac{1}{2} t_{ii} + (\mathcal{R} \cdot t)_{11} = 0 \end{array} \right.$$

Introduction: 双曲性

- 双曲性

= “初期値問題が *well-posed*”

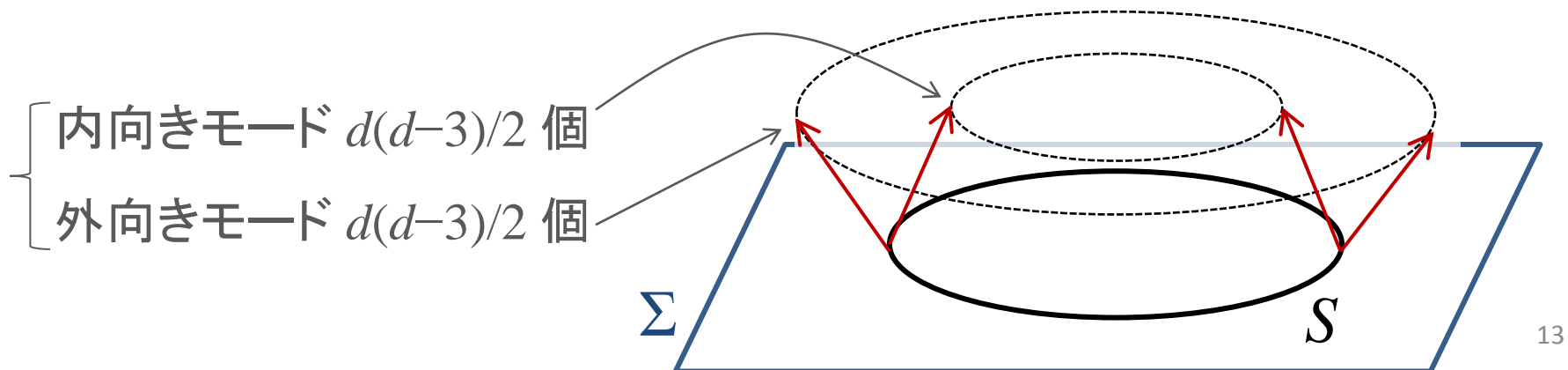
= “よい性質の初期値に対して、時間発展が一意に決まる”

“初期値を連続的に変化 \rightarrow 解も連続的に変化”

= Σ : 初期時刻面 ($d-1$ 次元)

“ Σ 上の($d-2$)次元面 S に波源を置くとする

$\rightarrow S$ から出る特性曲面が $d(d-3)$ 個存在する”



Contents

1. Introduction

- Lovelock重力理論
- 特性曲面
- 双曲性

2. Questions

- 重力摂動はブラックホールから出てくるか？
- 平面波解上の伝搬
- ブラックホール周辺における伝搬

3. Summary

Contents

1. Introduction

- Lovelock重力理論
- 特性曲面
- 双曲性

2. Questions

- 重力摂動はブラックホールから出てくるか？
- 平面波解上の伝搬
- ブラックホール周辺における伝搬

3. Summary

Questions

1. 重力摂動はブラックホールから出てくるか？

2. 平面波解上の伝搬

3. ブラックホール周辺における伝搬

• 因果律に従うか？

• 運動方程式の双曲性は保たれるか？

Summary

◆ Lovelock重力理論における特性曲面

1. 重力摂動はブラックホールから出てくるか？

→ No: Killingホライズン = 特性曲面となっている

2. リッチ平坦N型解上の伝搬

✓ 特性曲面 = effective metricについてnullな面

✓ 一番大きいconeに基づいて因果関係を定義できる

3. ブラックホール周辺における伝搬

✓ 特性曲面 = effective metricについてnullな面

✓ 小さなBH解周辺では双曲性が破れる

?: 一般的な状況で、時間発展の最中に双曲性が破れることはあるか？

?: 非線形重力波の伝搬と衝撃波形成について

1. “重力摂動はブラックホールから出てくるか？”

⇔ “BH地平面は特性曲面になっているか？”

≈ “Killing地平面は特性曲面になっているか？”

✓ GR: 特性曲面は常にnull

→ Killing地平面は特性曲面になっている

✓ GR + Gauss-Bonnet項による補正:

→ Killing地平面は特性曲面になると示せる [Izumi '14]

✓ Lovelock: ?

1. “重力摂動はブラックホールから出てくるか？”

⇔ “BH地平面は特性曲面になっているか？”

≈ “Killing地平面は特性曲面になっているか？”

• Killing地平面 \Rightarrow null座標で $R_{0i0j} = R_{0ijk} = 0$ となる

• $\xi^2=0$ と仮定して、解の個数をカウントする

$$\left\{ \begin{array}{ll} \frac{1}{2}t_{00} + (\mathcal{R} \cdot t)_{01} = 0 & \frac{1}{2}t_{0i} + (\mathcal{R} \cdot t)_{1i} = 0 \\ (\mathcal{R} \cdot t)_{ij} = 0 & -\frac{1}{2}t_{ii} + (\mathcal{R} \cdot t)_{11} = 0 \end{array} \right.$$

✓ 仮に $t_{00} = t_{0i} = 0$ と仮定 $\Rightarrow -\frac{1}{2}t_{ii} + (\mathcal{R} \cdot t)_{11} = 0$ 以外は全部消える

$$\therefore \frac{1}{2}d(d+1) - d - (1+d-2) - 1 = \frac{1}{2}d(d-3) \text{ 個の解が存在}$$

∴ 全モードについてKilling地平面は特性曲面になっている。

2. 平面波解上の伝搬

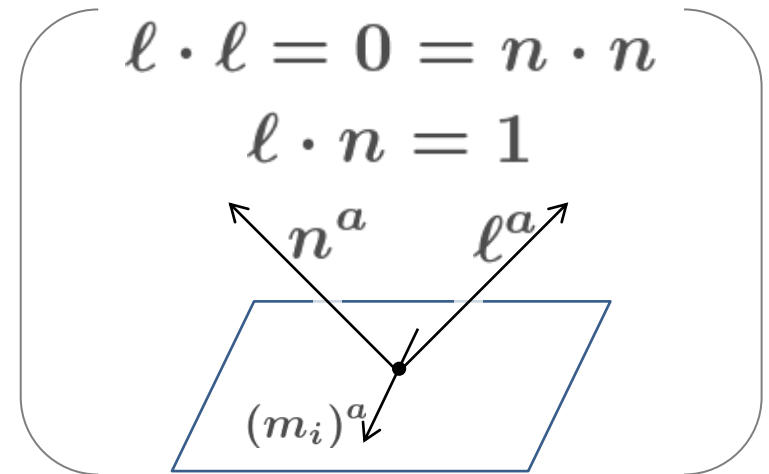
より一般的に、背景時空が

リッチ平坦なN型解

の場合を考える。

• Null基底

$$\left\{ \begin{array}{l} (e_0)^a = \ell^a \\ (e_1)^a = n^a \\ (e_i)^a = m^a \end{array} \right.$$



• リッチ平坦なN型解:

Riemannテンソルが、次の成分以外全部ゼロ:

$$R_{1i1j} \equiv \Omega_{ij} \quad \leftarrow \text{対称・トレースレス}$$

2. 平面波解上の伝搬

- リッチ平坦なN型解:

Riemannテンソルが、次の成分以外全部ゼロ:

$$R_{1i1j} \equiv \Omega_{ij} \quad \leftarrow \text{対称・トレースレス}$$

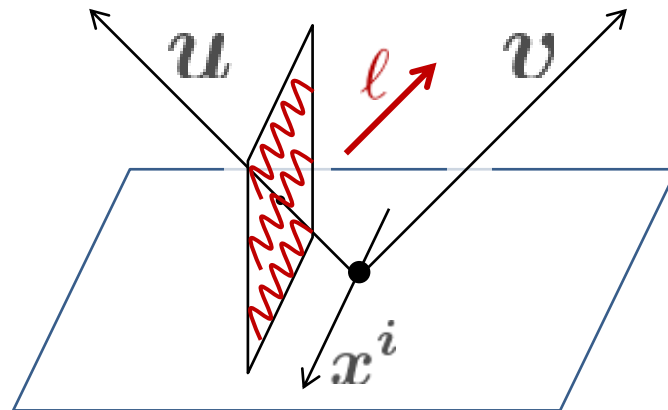
- ✓ $\Lambda = 0$ のLovelock理論の解になっている

- ✓ 例: 平面波解 [Boulware-Deser '85]

$$ds^2 = a_{ij}(u) x^i x^j du^2 + 2dudv + \delta_{ij} dx^i dx^j$$

$a_{ij}(u)$: 対称・トレースレス

$$(e_0)^a = \ell^a = (\partial/\partial v)^a$$



2. 平面波解上の伝搬

- リッチ平坦なN型解:

Riemannテンソルが、次の成分以外全部ゼロ:

$$R_{1i1j} \equiv \Omega_{ij} \quad \leftarrow \text{対称・トレースレス}$$

- ✓ $\Lambda = 0$ のLovelock理論の解になっている

- ✓ 例: 平面波解 [Boulware-Deser '85]

$$ds^2 = a_{ij}(u)x^i x^j du^2 + 2dudv + \delta_{ij}dx^i dx^j$$

➤ a_{ij} が定数なら $R_{1i1j} \propto a_{ij}$ となる

2. リッチ平坦N型解上の伝搬

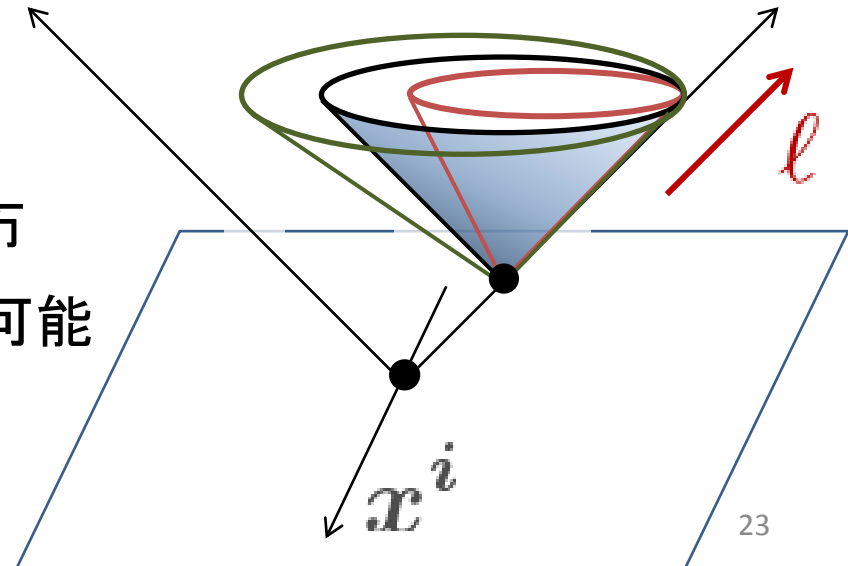
示すこと:

特性曲面 = “effective metrics”についてnullな面

$$G_I^{ab} = g^{ab} + \omega_I l^a l^b \quad (I = 1, \dots, d(d-3)/2)$$

✓ $\omega_I: \Omega_{ij}$ の関数

- ✓ $l: G_I$ に対してnull
⇒ 特性曲面は l に接する
- ✓ 特性曲面のconeが入れ子状に分布
- ✓ 最大のconeを用いて因果関係を定義可能



2. リッチ平坦N型解上の伝搬

示すこと:

特性曲面 = “effective metrics”についてnullな面

$$G_I^{ab} = g^{ab} + \omega_I \ell^a \ell^b \quad (I = 1, \dots, d(d-3)/2)$$

Key points:

- $(\mathcal{R} \cdot t)^\mu{}_\nu$ が簡単化する:

$$(\mathcal{R} \cdot t)^\mu{}_\nu = 16k_2 \left(-\delta_{\nu\sigma_1\sigma_2 0j}^{\mu\rho_1\rho_2 1i} \xi_{\rho_1} \xi^{\sigma_1} t_{\rho_2}{}^{\sigma_2} \Omega_{ij} + \frac{1}{d-2} \delta_{\nu}^{\mu} \delta_{k\sigma_1\sigma_2 0j}^{k\rho_1\rho_2 1i} \xi_{\rho_1} \xi^{\sigma_1} t_{\rho_2}{}^{\sigma_2} \Omega_{ij} \right)$$

- $\xi^2 \neq 0$ の場合の特性曲面は $\frac{1}{2}\xi^2 \hat{t} = \mathcal{R}(x, \xi) \cdot \hat{t}$ で決まる

⇒ 固有値方程式 $\mathcal{R}(x, \xi) \cdot \hat{t} = T^{ab} \xi_a \xi_b \hat{t}$ から eff. metric が得られる

$$0 = \xi^2 - T^{ab} \xi_a \xi_b = (g^{ab} - T^{ab}) \xi_a \xi_b$$

2. リッチ平坦N型解上の伝搬

• $\mathcal{R}(x, \xi) \cdot t$ の固有値方程式

➤ ゲージモード: $t_{ab} = \xi_{(a} X_{b)}$

➤ ゼロ固有値のモード: $\begin{cases} t_{ab} = \ell_{(a} X_{b)} \\ t_{ij} = \hat{t}_{ij} + \alpha \delta_{ij}, \quad t_{0\mu} = 0 = t_{1\mu} \end{cases}$

➤ 非ゼロ固有値のモード:

$$t_{ab} = 2t_{01} \ell_{(a} n_{b)} + t_{ij} m_{ia} m_{ib} \quad (t_{ii} = 0)$$

$$\Rightarrow \begin{cases} (\mathcal{R} \cdot t)_{01} = \frac{16k_2(d-4)}{d-2} \left(\frac{1}{2} t_{01} \xi^i \xi^j + \xi_0^2 t^{ij} \right) \Omega_{ij} \\ (\mathcal{R} \cdot t)_{ij} = 16k_2 \xi_0^2 \mathcal{O}(t)_{ij} \end{cases}$$

$$\left[\mathcal{O}(t)_{ij} = t_{ik} \Omega_{kj} + t_{jk} \Omega_{ki} - \frac{2}{d-2} t_{kl} \Omega_{kl} \delta_{ij} \right]$$

2. リッチ平坦N型解上の伝搬

• $\mathcal{R}(x, \xi) \cdot t$ の固有値方程式

$$\begin{aligned} \mathcal{O}(t)_{ij} = \nu_I t_{ij} &\quad \Rightarrow \quad (\mathcal{R} \cdot t)_{ij} = -\frac{1}{2} \xi_0^2 \omega_I t_{ij} \\ (I = 1, \dots, d(d-3)/2) &\quad \quad \quad (\omega_I = -32k_2 \nu_I) \end{aligned}$$

➤ 非ゼロ固有値のモード:

$$t_{ab} = 2t_{01} \ell_{(a} n_{b)} + t_{ij} m_{ia} m_{ib} \quad (t_{ii} = 0)$$

$$\Rightarrow \begin{cases} (\mathcal{R} \cdot t)_{01} = \frac{16k_2(d-4)}{d-2} \left(\frac{1}{2} t_{01} \xi^i \xi^j + \xi_0^2 t^{ij} \right) \Omega_{ij} \\ (\mathcal{R} \cdot t)_{ij} = 16k_2 \xi_0^2 \mathcal{O}(t)_{ij} \end{cases}$$

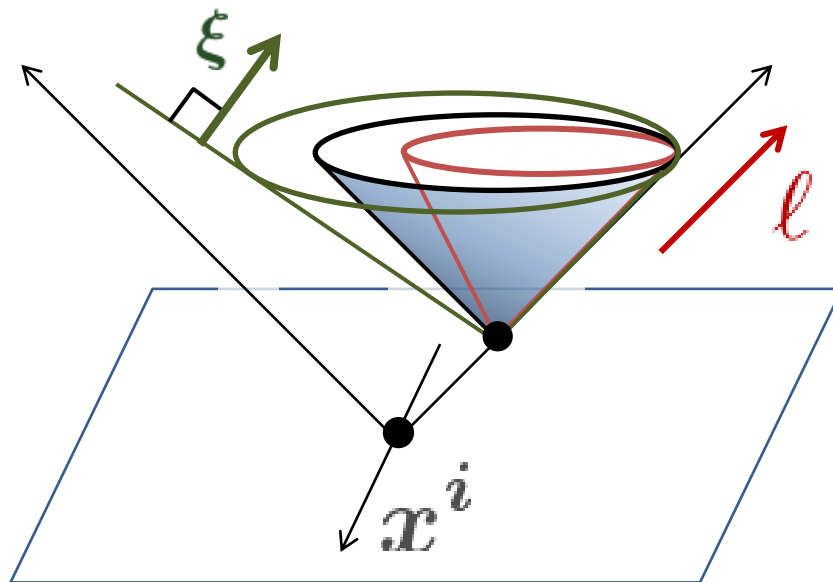
$$\left[\mathcal{O}(t)_{ij} = t_{ik} \Omega_{kj} + t_{jk} \Omega_{ki} - \frac{2}{d-2} t_{kl} \Omega_{kl} \delta_{ij} \right]$$

2. リッチ平坦N型解上の伝搬

• $\xi^2 \neq 0$ の場合の特性曲面は $\frac{1}{2}\xi^2 \hat{t} = \mathcal{R}(x, \xi) \cdot \hat{t}$ で決まる

• $(\mathcal{R} \cdot t)_{ij} = -\frac{1}{2}\xi_0^2 \omega_I t_{ij}$

$$\begin{aligned} \Rightarrow 0 &= \xi^2 + \omega_I \xi_0^2 = (g^{ab} + \omega_I \ell^a \ell^b) \xi_a \xi_b \\ &\equiv G_I^{ab} \xi_a \xi_b \quad (I = 1, \dots, d(d-3)/2) \end{aligned}$$



3. ブラックホール周辺における伝搬

- 静的ブラックホール解

$$ds^2 = -f(r)dt^2 + f(r)^{-1}dr^2 + r^2 d\Sigma^2$$

➤ Σ : $(d-2)$ 次元の定曲率空間 ($\kappa = +1, 0, -1$)

➤ $f(r) = \kappa - r^2\psi(r)$

➤ $\psi(r)$ は次の代数方程式の解:

$$W[\psi] \equiv - \sum_{p \geq 2} \left[2^{p+1} k_p \left(\prod_{k=1}^{2p-2} (d-2-k) \right) \psi^p \right] + \psi - \frac{2\Lambda}{(d-1)(d-2)} = \frac{\mu}{r^{d-1}}$$

3. ブラックホール周辺における伝搬

- 静的ブラックホール解

$$ds^2 = -f(r)dt^2 + f(r)^{-1}dr^2 + r^2 d\Sigma^2$$

- 正規直交基底 $\left\{ \begin{array}{l} e_0 = -f^{1/2} dt \\ e_1 = f^{-1/2} dr \\ e_i = (d\Sigma^2 \text{ について正規直交}) \end{array} \right.$

- $\left\{ \begin{array}{l} R_{IJKL} = R_1(r) (\eta_{IK}\eta_{JL} - \eta_{IL}\eta_{JK}) \\ R_{IiJj} = R_2(r) \eta_{IJ}\delta_{ij} \\ R_{ijkl} = R_3(r) (\delta_{ik}\delta_{jl} - \delta_{il}\delta_{jk}) \end{array} \right.$ η_{IJ} : 2次元 Minkowski
 δ_{ij} : Σ 上の計量

3. ブラックホール周辺における伝搬

示すこと:

特性曲面 = “effective metrics”についてnullな面

$$G_{\mu\nu}^A dx^\mu dx^\nu = -f(r)dt^2 + f(r)^{-1}dr^2 + \frac{r^2}{c_A(r)}d\Sigma^2$$

✓ A : Tensor, Vector, Scalarモード

✓ $c_A(r)$: (Σ 方向への伝搬速度)²

$$\left[\begin{aligned} 0 = \det P(x, \xi) &= (G_S^{ab}(x)\xi_a\xi_b)^{p_S} (G_V^{cd}(x)\xi_c\xi_d)^{p_V} (G_T^{ef}(x)\xi_e\xi_f)^{p_T} \\ p_S + p_V + p_T &= d(d-3)/2 \end{aligned} \right]$$

3. ブラックホール周辺における伝搬

示すこと:

特性曲面 = “effective metrics”についてnullな面

$$G_{\mu\nu}^A dx^\mu dx^\nu = -f(r)dt^2 + f(r)^{-1}dr^2 + \frac{r^2}{c_A(r)} d\Sigma^2$$

✓ A : Tensor, Vector, Scalarモード

✓ $c_A(r)$: (Σ 方向への伝搬速度)²

✓ ブラックホール摂動の式から読み取れる:

$$0 = \frac{\delta E_{\mu\nu}}{\delta(\partial_\alpha \partial_\beta g_{\rho\sigma})} \partial_\alpha \partial_\beta \delta g_{\rho\sigma} + \dots \Rightarrow \frac{\delta E_{\mu\nu}}{\delta(\partial_\alpha \partial_\beta g_{\rho\sigma})} \xi_\alpha \xi_\beta = P(x, \xi)$$

$$\left(-\frac{\partial^2}{\partial t^2} + \frac{\partial^2}{\partial r_*^2} - V_l(r) \right) \Psi_l(t, r) = 0 \Leftrightarrow \left(-\frac{\partial^2}{\partial t^2} + \frac{\partial^2}{\partial r_*^2} + \frac{f(r)c_A(r)D^2}{r^2} \right) \Psi \equiv f(r)G_A^{\mu\nu} \partial_\mu \partial_\nu \Psi$$

[Dotti-Gleiser '05]

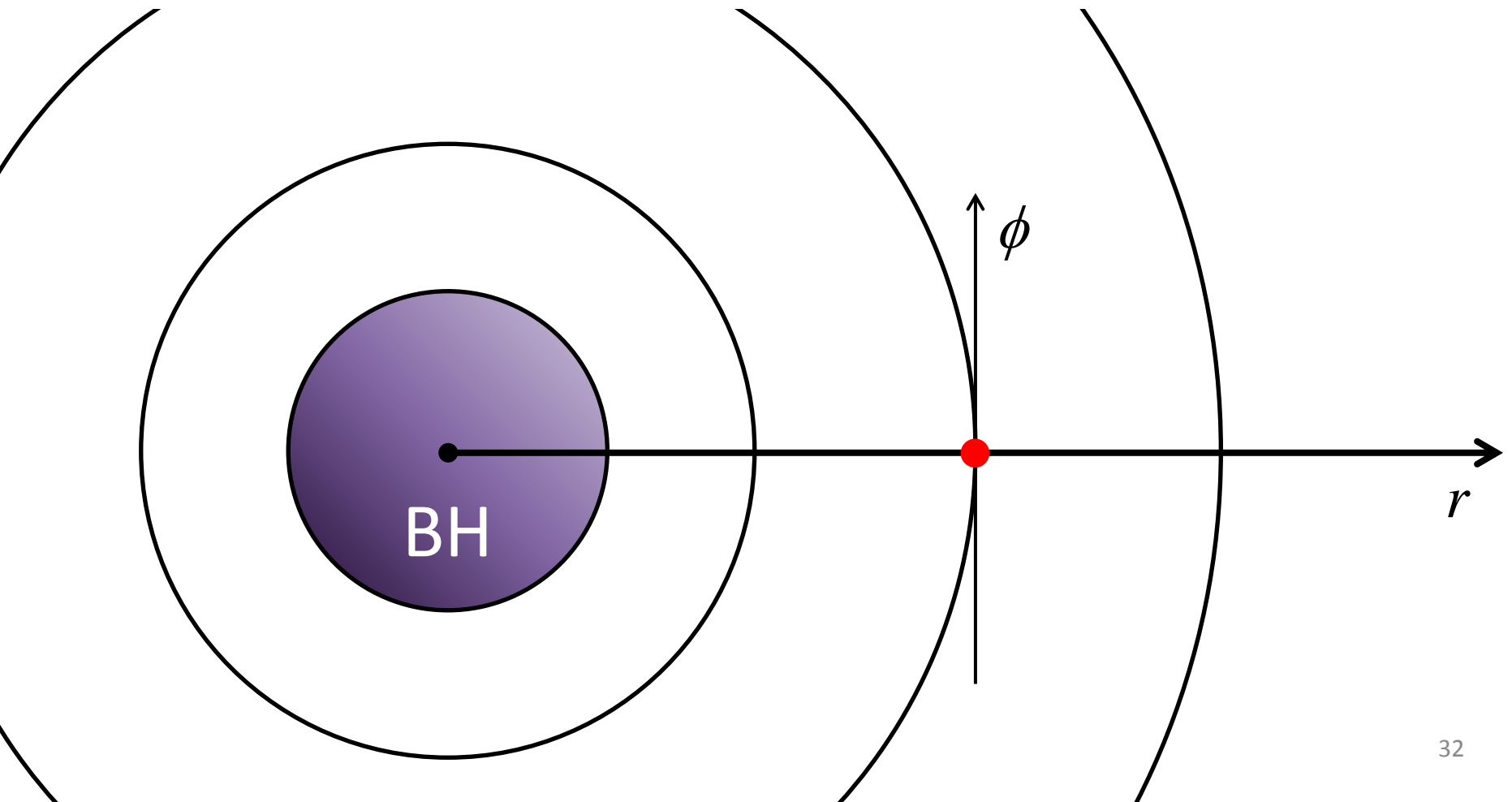
[Konoplya-Zhidenko '08]

[Takahashi-Soda '09, '10]

$$V_l(r) \ni \frac{l^2}{r^2} \simeq -\frac{1}{r^2} D^2$$

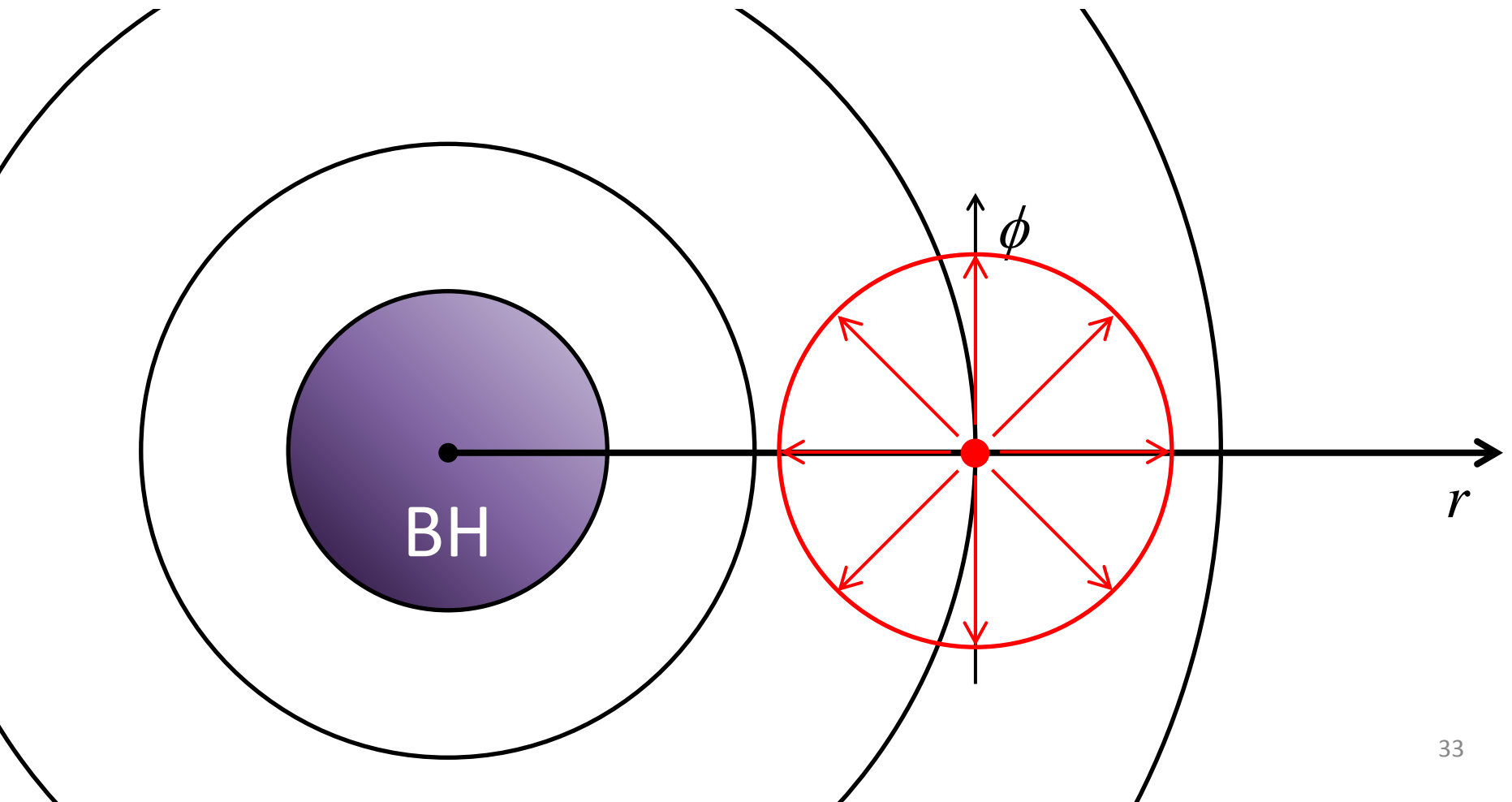
3. ブラックホール周辺における伝搬

$$G_{\mu\nu}^A dx^\mu dx^\nu = -f(r)dt^2 + f(r)^{-1}dr^2 + \frac{r^2}{c_A(r)}d\Sigma^2$$



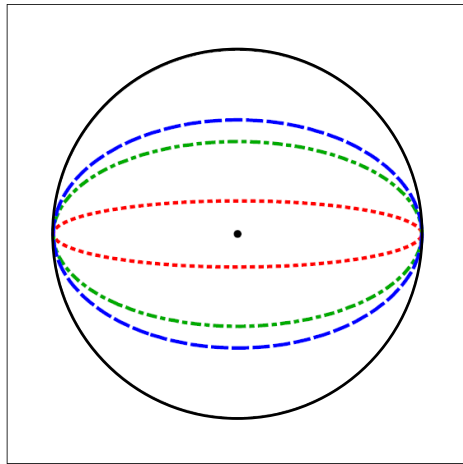
3. ブラックホール周辺における伝搬

$$G_{\mu\nu}^A dx^\mu dx^\nu = -f(r)dt^2 + f(r)^{-1}dr^2 + \frac{r^2}{c_A(r)}d\Sigma^2$$

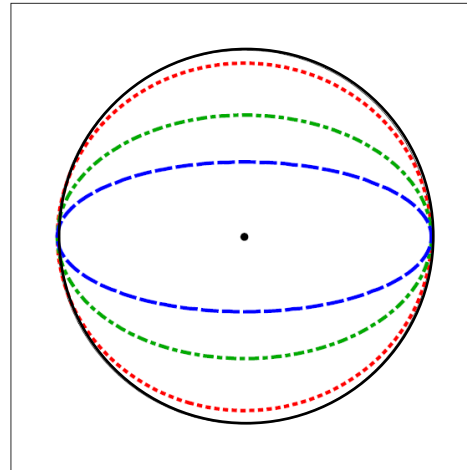


3. ブラックホール周辺における伝搬

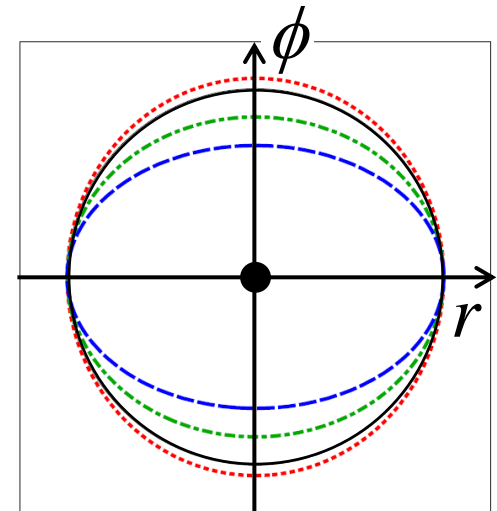
$$G_{\mu\nu}^A dx^\mu dx^\nu = -f(r)dt^2 + f(r)^{-1}dr^2 + \frac{r^2}{c_A(r)}d\Sigma^2$$



@ $r = 1.5r_h$

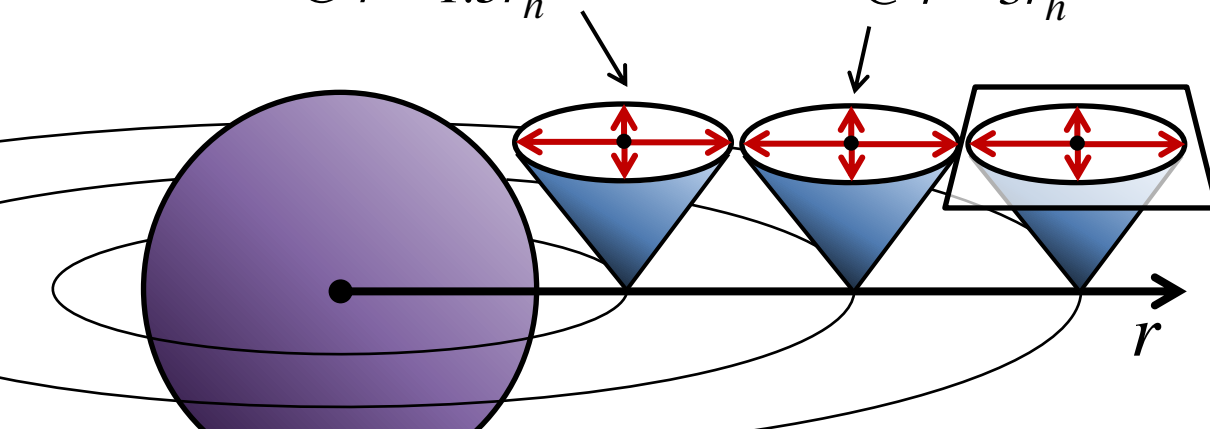


@ $r = 3r_h$



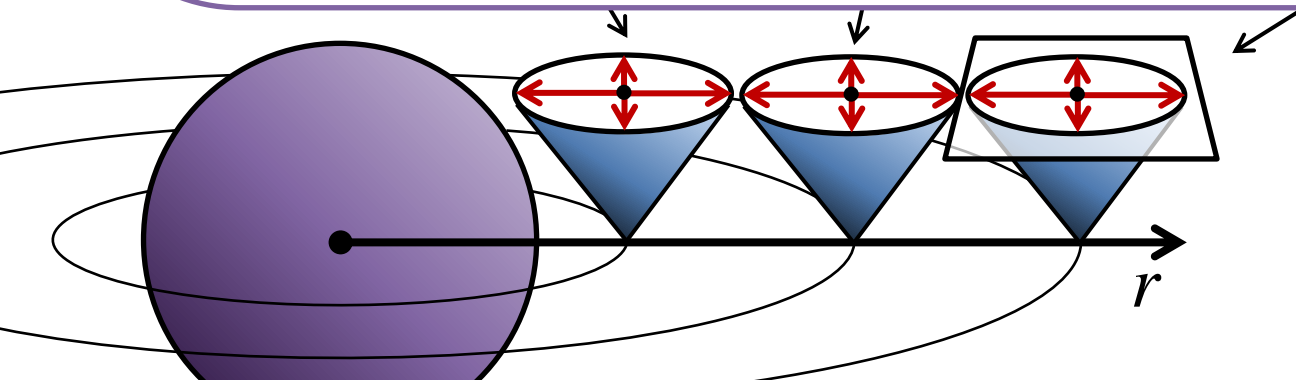
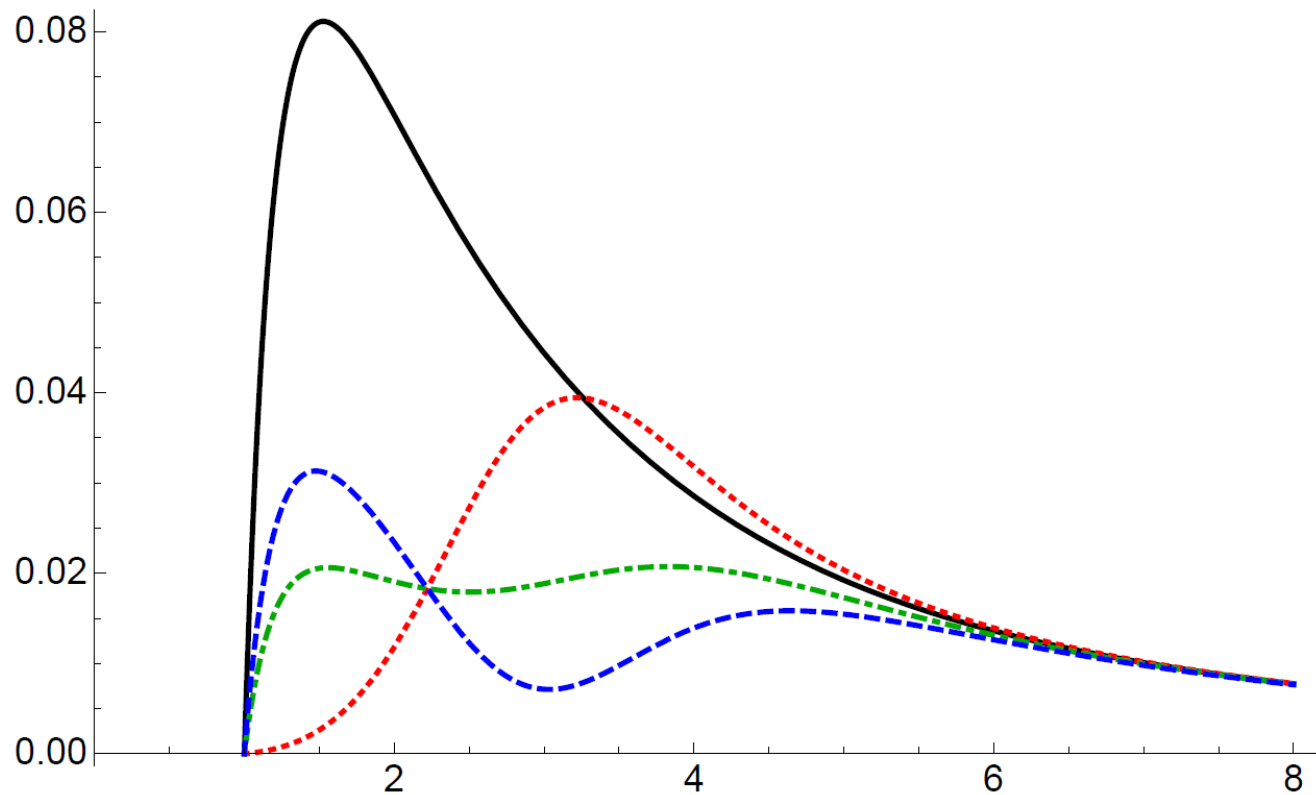
@ $r = 4r_h$

($d=7, k_2=-1/4, r_h=1$)



- : Photon cone
- ⋯ : Tensor modes
- · - · : Vector modes
- - - : Scalar modes

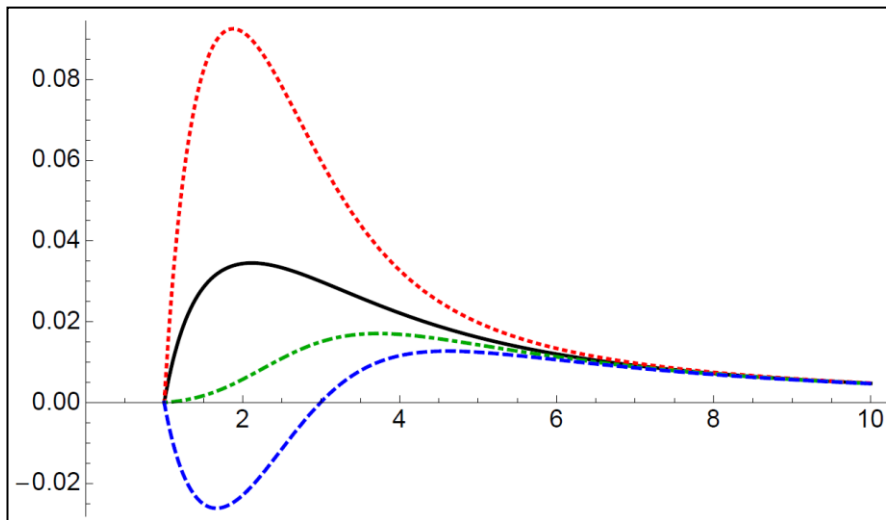
$$V_{eff}(r) = \frac{f(r)c_A(r)}{2r^2} \quad \text{for } d=7, k_2=-1/4, r_h=1$$



- : Photon cone
- ⋯ : Tensor modes
- · - · : Vector modes
- - - : Scalar modes

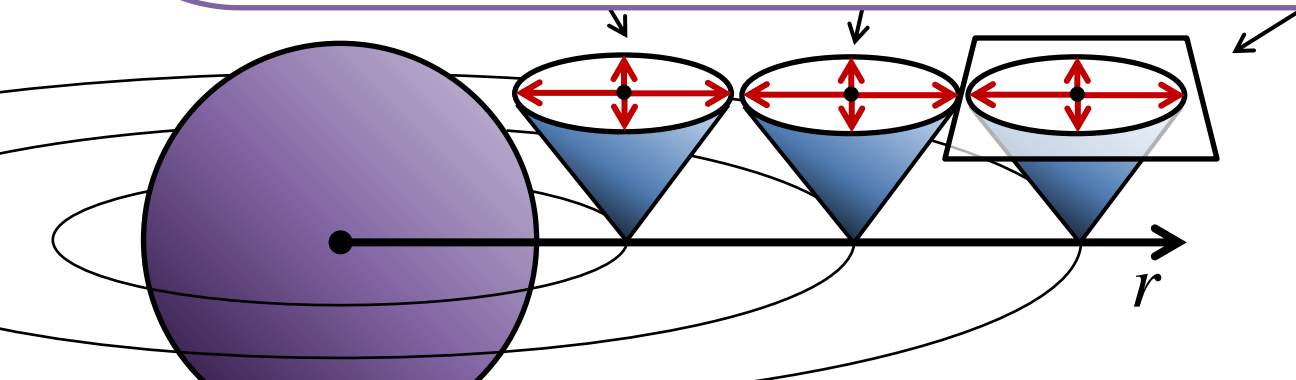
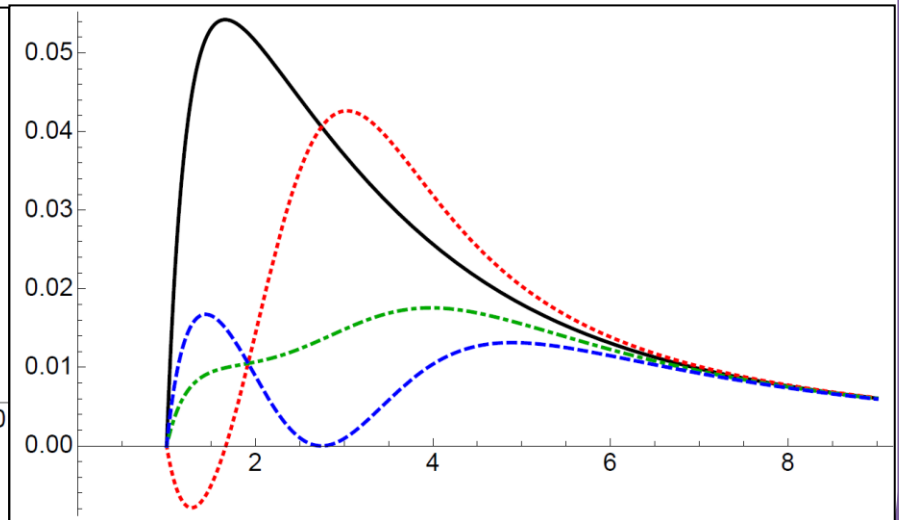
For $d=5$:

$c_{\text{scalar}}(r) < 0$ near horizon



For $d=6$:

$c_{\text{tensor}}(r) < 0$ near horizon



- : Photon cone
- ⋯ : Tensor modes
- · - · : Vector modes
- - - : Scalar modes

3. ブラックホール周辺における伝搬

- small BH極限 ($r_h \rightarrow 0$, k_n fixed)

P : Lovelock項の最高次数 ($d \geq 2P+1$)

$$d = 2P+1 \Rightarrow \begin{cases} c_T(r_0) = \frac{3}{2P-3} + \mathcal{O}(r_0^2) \\ c_V(r_0) = \mathcal{O}(r_0^4) < 0 \\ c_S(r_0) = -\frac{3}{2P-1} + \mathcal{O}(r_0^2) < 0 \end{cases}$$

$$d \neq 2P+1 \Rightarrow \begin{cases} c_T(r_h) = \frac{d-1-3P}{(d-4)P} + \mathcal{O}(r_h^2) < 0 \text{ for } d < 1+3P \\ c_V(r_h) = \frac{d-1-2P}{(d-3)P} + \mathcal{O}(r_h^2) \\ c_S(r_h) = \frac{d-1-P}{(d-2)P} + \mathcal{O}(r_h^2) \end{cases}$$

3. ブラックホール周辺における伝搬

- $c_A < 0 \Rightarrow$ 双曲性が破れる

$$G_{\mu\nu}^A dx^\mu dx^\nu = -f(r)dt^2 + f(r)^{-1}dr^2 + \frac{r^2}{c_A(r)}d\Sigma^2$$

$$\Leftrightarrow \left(-\frac{\partial^2}{\partial t^2} + \frac{\partial^2}{\partial r_*^2} + \frac{f(r)c_A(r)D^2}{r^2} \right) \Psi \equiv f(r)G_A^{\mu\nu} \partial_\mu \partial_\nu \Psi$$

$\left[D^2 \simeq -l^2 \right]$

- 解釈:

1. $\omega^2 = -\alpha^2 l^2 \Rightarrow$ 不安定性 $\propto \exp(\alpha l t)$
2. 初期値問題が well-posed でない

$$\delta g_{\mu\nu}(t, r, x) \sim e^{-\sqrt{l}t} e^{\alpha l t} = \begin{cases} \bullet t = 0 \Rightarrow \delta g, \partial^n \delta g = 0 \\ \bullet t > 0 \Rightarrow \delta g \rightarrow \infty \end{cases}$$

with $l \rightarrow \infty$

Introduction: 双曲性

- 双曲性

= “初期値問題が *well-posed*”

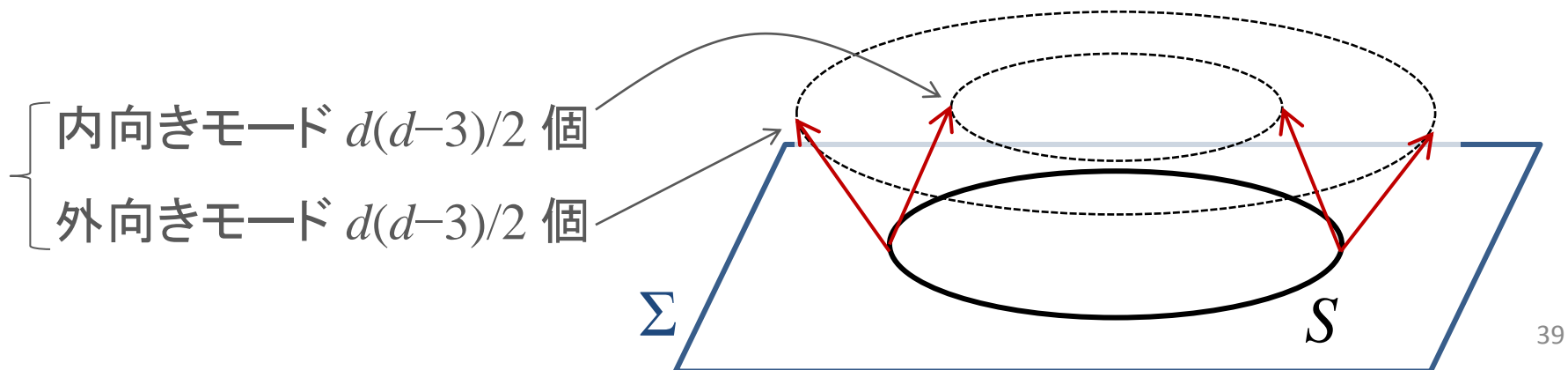
= “よい性質の初期値に対して、時間発展が一意に決まる”

“初期値を連続的に変化 \rightarrow 解も連続的に変化”

= Σ : 初期時刻面 ($d-1$ 次元)

“ Σ 上の $(d-2)$ 次元面 S に波源を置くとする

$\rightarrow S$ から出る特性曲面が $d(d-3)$ 個存在する”



Summary

◆ Lovelock重力理論における特性曲面

1. 重力摂動はブラックホールから出てくるか？

→ No: Killingホライズン = 特性曲面となっている

2. リッチ平坦N型解上の伝搬

✓ 特性曲面 = effective metricについてnullな面

✓ 一番大きいconeに基づいて因果関係を定義できる

3. ブラックホール周辺における伝搬

✓ 特性曲面 = effective metricについてnullな面

✓ 小さなBH解周辺では双曲性が破れる

?: 一般的な状況で、時間発展の最中に双曲性が破れることはあるか？

?: 非線形重力波の伝搬と衝撃波形成について



Thanks!

$$V_{eff}(r) = \frac{f(r)c_A(r)}{2r^2} \text{ for } d=5, k_2=-1/80, r_h=1, \kappa=0, \text{ AdS with } \ell = 1$$

